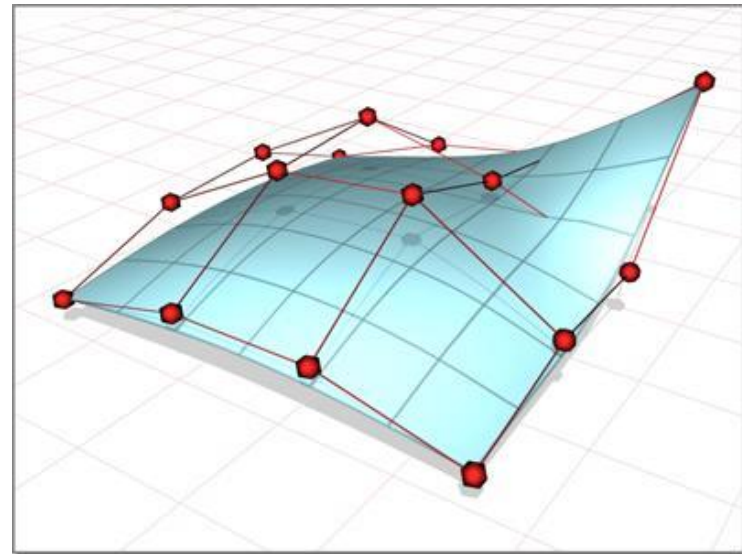


# Modellierung mit Kurven





# Inhalt

---

- [Polynombasen](#)
- [Parametrische Kurven](#)
- [Beziér Kurven](#)
- [Interpolierende Kurven](#)
- [Hermite Splines](#)
- [Stetiges Aneinanderfügen](#)
- [Basis-Splines](#)
- [Übersicht](#)

# Polynombasen

## Monombasis



- Wir betrachten hier nur Polynome in einer Variablen  $t$ . Für Flächen werden Polynome in zwei Variablen benötigt.
- Die einfachste Darstellung von Polynomen ist in der **Monombasis**  $\{ 1, t, t^2, \dots, t^g \}$
- Das Monom mit der höchsten Potenz dessen Koeffizient ungleich null ist definiert den **Grad**  $g$  des Polynoms
- Die Koeffizienten an die Basisfunktionen können als Vektor interpretiert werden und bilden den  $(g+1)$ -dimensionalen Vektorraum der Polynome

Beispiel:  $t(2 + t^2) - 1 = 2t + t^3 - 1$

$$\begin{aligned} f(t) &= a_0 + a_1 t + a_2 t^2 + \dots + a_g t^g \\ &= \sum_{i=0}^g a_i t^i = \langle \vec{a}, \vec{M}^g(t) \rangle \\ &= \vec{a}^T \vec{M}^g(t) = \vec{M}^g(t)^T \vec{a} \end{aligned}$$

Monombasis:

$$M_i^g(t) = t^i \quad \text{oder} \quad \vec{M}^g(t) = \begin{pmatrix} 1 \\ t \\ \vdots \\ t^g \end{pmatrix}$$

Koeffizientenvektor  $\vec{a} = \begin{pmatrix} a_0 \\ a_1 \\ \vdots \\ a_g \end{pmatrix} \in \mathbf{R}^{g+1}$

# Polynombasen

## Bernsteinbasis



- Die **Fakultät** einer positiven ganzen Zahl  $n$  ergibt sich aus dem Produkt aller ganzen Zahlen kleiner gleich  $n$
- Binomialkoeffizienten sind mit Hilfe der Fakultät definiert
- Optional können die Binomialkoeffizienten auch über das Pascal'sche Dreieck berechnet werden
- Bernsteinbasis:**

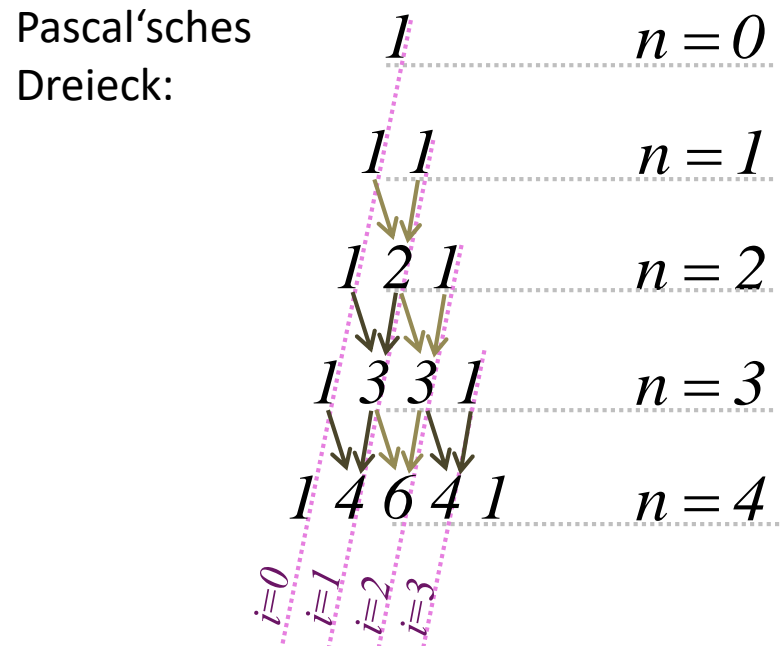
$$B_i^g(t) = \binom{g}{i} (1-t)^{g-i} t^i$$

$$\vec{B}^2(t) = \left( (1-t)^2 \quad 2(1-t)t \quad t^2 \right)^T$$

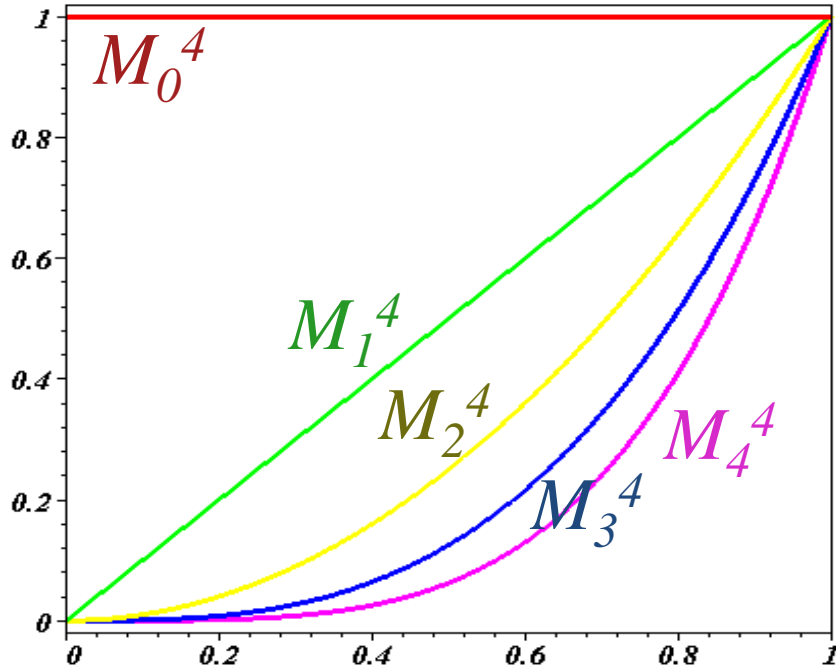
$$\vec{B}^3(t) = \left( (1-t)^3 \quad 3(1-t)^2t \quad 3(1-t)t^2 \quad t^3 \right)^T$$

Fakultät:  $n! = n \cdot (n-1) \cdot \dots \cdot 2 \cdot 1$

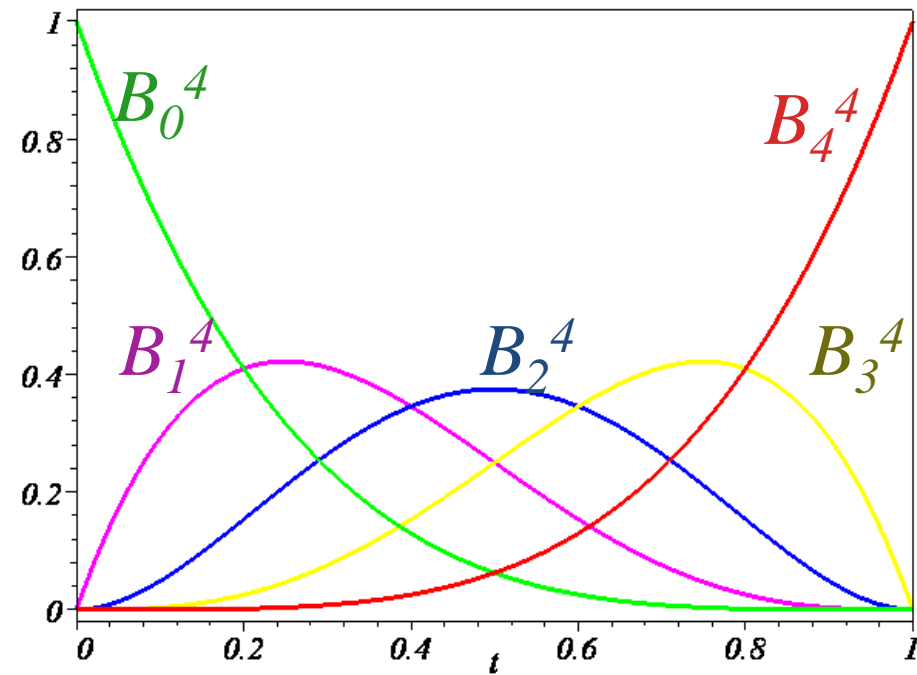
Binomialkoeffizient:  $\binom{n}{i} = \frac{n!}{i!(n-i)!}$



## Monombasis



## Bernsteinbasis



Wichtig ist, dass nur der  
Definitionsbereich  $t \in [0,1]$   
betrachtet wird



# Basistransformation – Motivation

$$\begin{aligned}
 f(t) &= 2B_0^3(t) - 2B_1^3(t) + 5B_2^3(t) + 1B_3^3(t) \iff (2 \quad -2 \quad 5 \quad 1) \\
 &= 2(1-t)^3 - 2 \cdot 3t(1-t)^2 + 5 \cdot 3t^2(1-t) + 1 \cdot t^3 \\
 &= 2 - 6t + 6t^2 - 2t^3 \\
 &\quad -6t + 12t^2 - 6t^3 \\
 &\quad +15t^2 - 15t^3 \\
 &\quad +t^3 \quad (2 \quad -2 \quad 5 \quad 1) \cdot \begin{pmatrix} 1 & -3 & 3 & -1 \\ 0 & 3 & -6 & 3 \\ 0 & 0 & 3 & -3 \\ 0 & 0 & 0 & 1 \end{pmatrix} \\
 f(t) &= 2 - 12t + 33t^2 - 23t^3 \quad \parallel \\
 f(t) &= 2M_0^3(t) - 12M_1^3(t) + 33M_2^3(t) - 23M_3^3(t) \iff (2 \quad -12 \quad 33 \quad -23)
 \end{aligned}$$

$$\vec{b}^T \mathbf{T}_{M \leftarrow B}^T = \vec{a}^T$$

$$\vec{a} = \mathbf{T}_{M \leftarrow B} \vec{b}$$

# Polynombasen

## Basistransformation



- Dasselbe Polynome kann in verschiedenen Basen dargestellt werden. Dadurch ändert sich der Koeffizientenvektor
- Die Umrechnung des Koeffizientenvektors in eine andere Basis heißt Basistransformation, diese kann mit einer  $(g+1) \times (g+1)$ -dimensionalen Matrix dargestellt werden
- Die Basistransformation erfolgt durch Matrix-Vektor-Multiplikation
- Die inverse Matrix transformiert den Koeffizientenvektor in umgekehrter Richtung

$$f(t) = \vec{a}^T \vec{M}^g(t) \stackrel{\textcircled{1}}{=} \vec{b}^T \vec{B}^g(t)$$

Basistransformation:

$$\vec{b} = \mathbf{T}_{B \leftarrow M} \vec{a}, \quad \mathbf{T}_{B \leftarrow M} \in \mathbf{R}^{(g+1) \times (g+1)}$$

Inverse Basistransformation:

$$\vec{a} = \mathbf{T}_{M \leftarrow B} \vec{b} = \left( \mathbf{T}_{B \leftarrow M} \right)^{-1} \vec{b} \quad \textcircled{2}$$

Zusammenhang zw. Basistransformation und Transformation der Basen:

$$f(t) = \vec{a}^T \vec{M}^g(t) \stackrel{\textcircled{2}}{=} \vec{b}^T \left( \left( \mathbf{T}_{B \leftarrow M} \right)^{-1} \right)^T \vec{M}^g(t)$$

$$\stackrel{\textcircled{1}}{\Rightarrow} \vec{B}^g(t) = \mathbf{A}_{B \leftarrow M} \vec{M}^g(t)$$

$$\mathbf{A}_{B \leftarrow M} = \left( \left( \mathbf{T}_{B \leftarrow M} \right)^{-1} \right)^T$$

# Polynombasen

## Beispieltransformation



- Auch die Basen stehen in einem linearen Zusammenhang zueinander, der durch eine Matrix  $\mathbf{A}_{B \leftarrow M}$  darstellbar ist
- Diese Matrix kann bei Transformation von der Monobasis durch ausmultiplizieren der anderen Basis abgelesen werden
- Rechts ist dies für die Bernsteinbasis durchgeführt
- Die Transformationsmatrix für den Koeffizientenvektor ergibt sich durch Transponieren und Invertieren.

$$\vec{B}^3(t) = \begin{pmatrix} (1-t)^3 \\ 3(1-t)^2 t \\ 3(1-t)t^2 \\ t^3 \end{pmatrix} = \begin{pmatrix} 1-3t+3t^2-t^3 \\ 3t-6t^2+3t^3 \\ 3t^2-3t^3 \\ t^3 \end{pmatrix}$$

$$= \underbrace{\begin{pmatrix} 1 & -3 & 3 & -1 \\ 0 & 3 & -6 & 3 \\ 0 & 0 & 3 & -3 \\ 0 & 0 & 0 & 1 \end{pmatrix}}_{\mathbf{A}_{B \leftarrow M}} \begin{pmatrix} 1 \\ t \\ t^2 \\ t^3 \end{pmatrix}$$

$$\Rightarrow \mathbf{T}_{B \leftarrow M} = \left( (\mathbf{A}_{B \leftarrow M})^T \right)^{-1} = \begin{pmatrix} 1 & 0 & 0 & 0 \\ 1 & \frac{1}{3} & 0 & 0 \\ 1 & \frac{2}{3} & \frac{1}{3} & 0 \\ 1 & 1 & 1 & 1 \end{pmatrix}$$

$$\Rightarrow \mathbf{T}_{M \leftarrow B} = \mathbf{A}_{B \leftarrow M}^T$$

# Polynombasen

## Effiziente Auswertung



- Für die Auswertung von Polynomen gibt es je nach Basis mehrere Möglichkeiten deren Laufzeit sich in Bezug auf den Grad unterscheidet.
- Für die Monombasis benötigt eine direkte Umsetzung der Formel im Grad quadratisch viele Rechenoperationen
- Mit dem [Horner Schema](#) kann, die Anzahl der Rechenoperationen reduziert werden, so dass nur noch proportional zum Grad viele Operationen notwendig sind ist.

$$f(t) = a_0 + a_1 t + a_2 t^2 + \dots + a_g t^g$$

Pseudo-Code Standardauswertung:

```
f = a0
for i = 1..g do
    Mi = t
    for j = 2..i do
        Mi *= t
    f += ai * Mi
```

### Horner Schema

$$f(t) = a_0 + t(a_1 + t(\dots + t(a_{g-1} + t a_g) \dots))$$

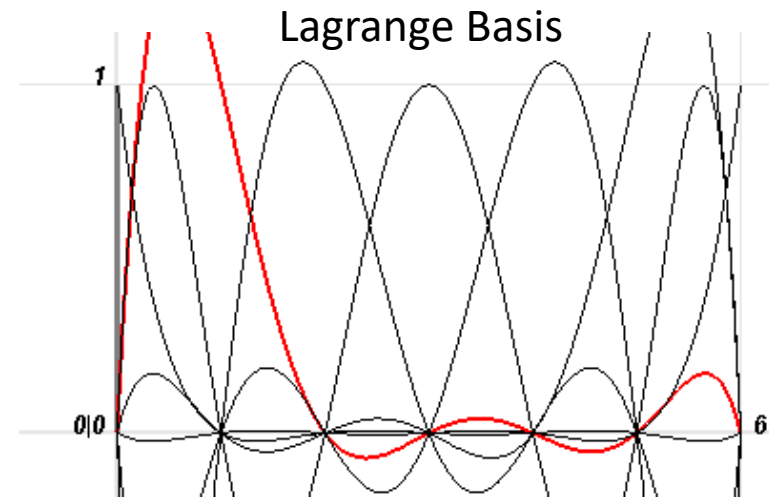
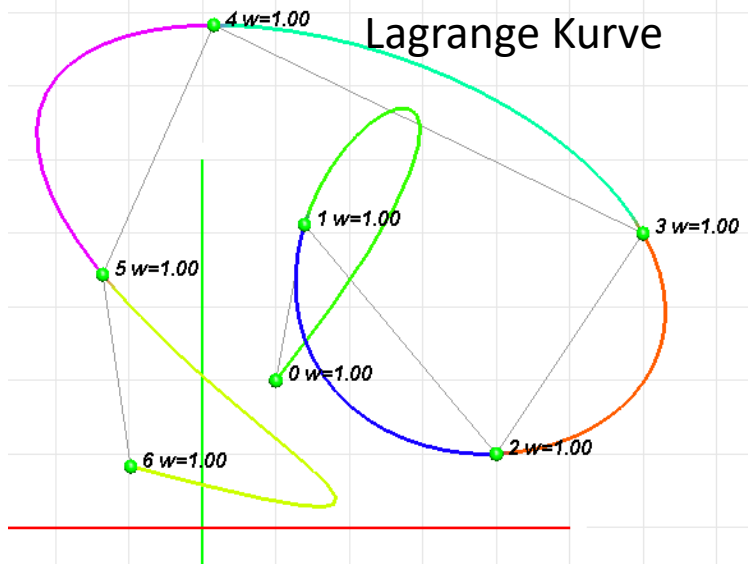
Pseudo-Code Horner Schema

```
f = ag
for i = g-1..0 do
    f = ai + t * f
```



# Parametrische Kurven

## Modellierung von Kurven



### Kontrollpunktparadigma

- Kontrollpolygon aus Kontrollpunkten definiert den Kurvenverlauf
- Gewichte geben bei rationalen Basen zusätzliche Freiheitsgrade zum modellieren

### Basisfunktionen

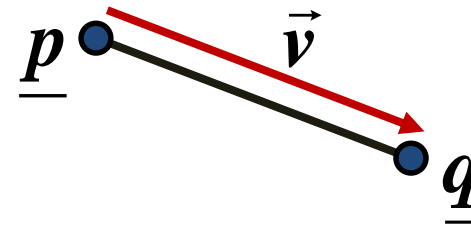
- Der Einfluss der verschiedenen Kontrollpunkte wird durch polynomiale Basisfunktionen gesteuert
- Je nach Wahl der Basis hat die resultierende Kurve andere Eigenschaften

# Parametrische Kurven

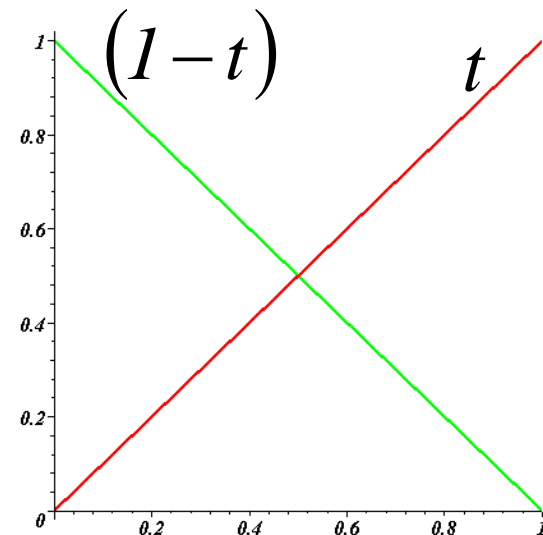
## Motivation der Basisdarstellung



- Die einfachste parametrische Kurve ist durch ein geradliniges Segment zwischen zwei Punkten definiert
- Dazu werden nur lineare Basisfunktionen benötigt
  - Monombasis:  $\{ 1, t \}$   
wird an Anfangspunkt und Differenzvektor multipliziert
  - Bernsteinbasis:  $\{ 1-t, t \}$   
wird direkt an die Kontrollpunkte multipliziert
    - Bei  $t=0$  und  $t=1$  ist eine Basis 1 und die andere 0  $\rightarrow$  Endpunkte werden interpoliert
    - Die Basis summiert sich überall zu  $1-t+t=1$

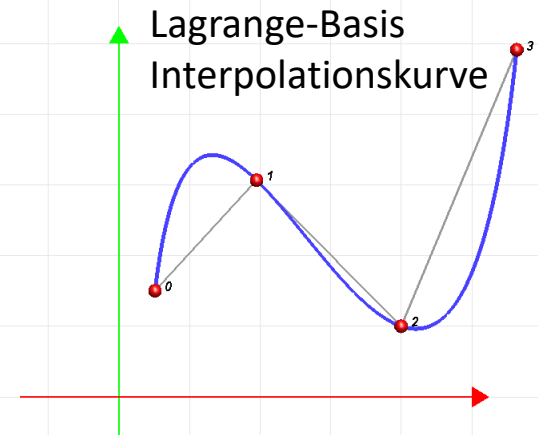
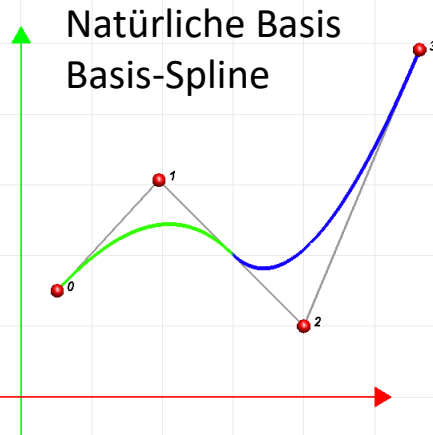
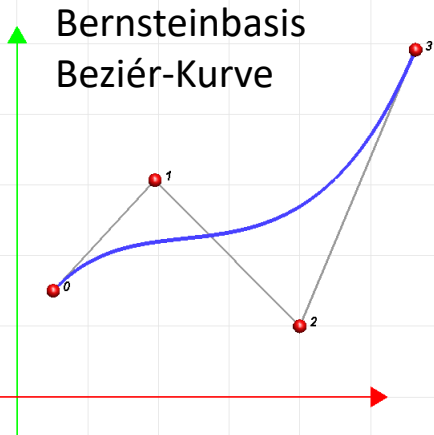


$$\begin{aligned}\underline{c}(t) &= \underline{p} + \vec{v}t \\ &= (1-t)\underline{p} + t\underline{q}\end{aligned}$$



# Parametrische Kurven

## Eigenschaften die aus Basis folgen



- Je nach den gewählten Basisfunktionen ergibt sich mit denselben Kontrollpunkten unterschiedliche Kurven mit anderen Eigenschaften
- Splines sind aus mehreren Kurvensegmenten so zusammengesetzt, dass ein glatter Übergang entsteht

- gewünschte Eigenschaften
  - Glattheit
  - Kontrollpunktinterpolation
  - Endtangentialinterpolation ...  
Tangenten der Kurvenendpunkte entsprechen Endsegmenten des Kontrollpolygons
  - Konvexe Hüllen Eigenschaft:  
Kurvenverlauf nur innerhalb der konvexen Hülle der Kontrollpunkte

# Parametrische Kurven

## Matrixdarstellung

- Im Vergleich zu Polynomen werden die skalaren Koeffizienten zu Kontrollpunkten und die Koeffizientenvektoren zu Kontrollpunktmatrizen
- Bei der Basistransformation bleibt alles gleich, außer dass die Kontrollpunktmatrizen durch Matrix-Matrix-Multiplikation transformiert werden
- Im 3D hat die Kontrollpunktmatrix einfach eine weitere Zeile

Beispiel Beziér-Kurve, die mit Bernsteinbasis definiert wird und deren Kontrollpunkte auch Beziér-Punkte genannt werden

$$\underline{\mathbf{c}}(t) = \sum_{i=0}^g \underline{\mathbf{b}}_i B_i^g(t) \\ = \mathbf{K}_{\underline{\mathbf{b}}} \cdot \vec{\mathbf{B}}^g(t)$$

Kontrollpunktmatrix

Bsp.:  $g=3$

$$\underline{\mathbf{c}}(t) = \begin{pmatrix} b_{0,x} & b_{1,x} & b_{2,x} & b_{3,x} \\ b_{0,y} & b_{1,y} & b_{2,y} & b_{3,y} \end{pmatrix} \begin{pmatrix} (1-t)^3 \\ 3(1-t)^2 t \\ 3(1-t)t^2 \\ t^3 \end{pmatrix}$$



# Beziér Kurven

## einleitendes Beispiel

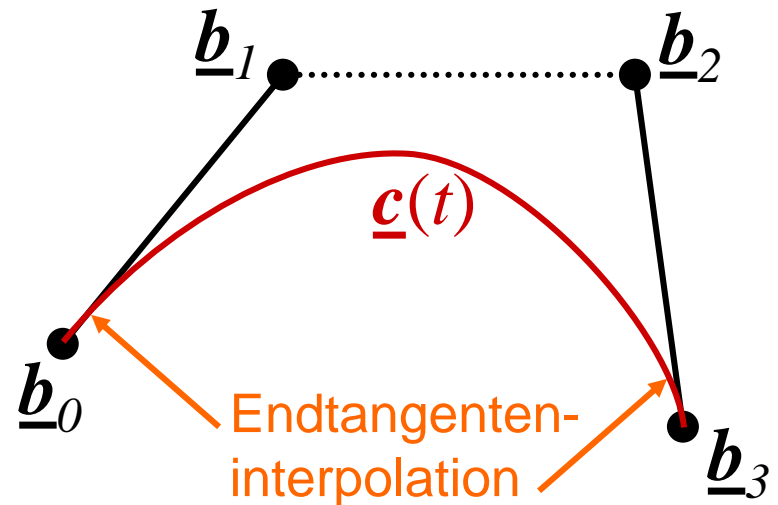


- In den meisten Tools werden Bezier-Kurven dritten Grades für die Definition von Kurven verwendet
- Die Kurve ist durch vier Bezier-Punkte  $\underline{b}_0, \underline{b}_1, \underline{b}_2, \underline{b}_3$  definiert
- $\underline{b}_0, \underline{b}_3$  definieren Start- und Endpunkt
- $\underline{b}_1, \underline{b}_2$  definieren die Tangenten in Start- und Endpunkt

Bezier-Kurve 3.Grades:

$$\begin{pmatrix} x(t) \\ y(t) \end{pmatrix} = (1-t)^3 \begin{pmatrix} x_0 \\ y_0 \end{pmatrix} + 3t(1-t)^2 \begin{pmatrix} x_1 \\ y_1 \end{pmatrix} + 3t^2(1-t) \begin{pmatrix} x_2 \\ y_2 \end{pmatrix} + t^3 \begin{pmatrix} x_3 \\ y_3 \end{pmatrix}$$

mit  $t \in [0,1]$



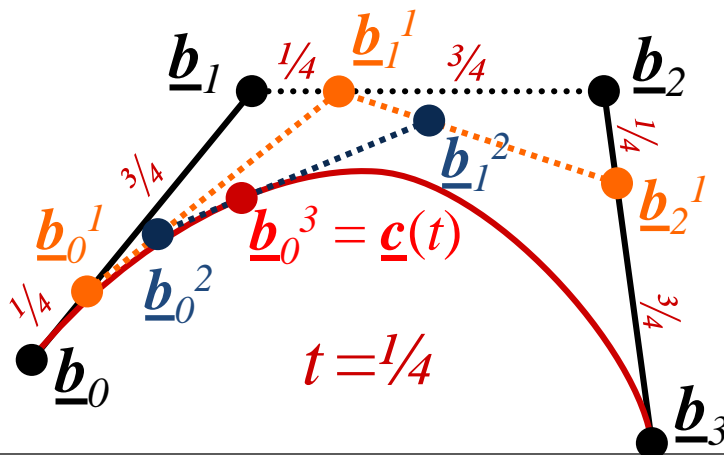
# Beziér Kurven

## Berechnung von Kurvenpunkten

### Kurvenauswertung nach DeCasteljau

- Für hohe Grade erfordert die Auswertung der Bernsteinbasis hohe numerische Genauigkeit.
- Deshalb verwendet man das Schema nach de Casteljau:

$$\begin{aligned} \underline{c}(t) &= \underline{b}_0^s & \underline{b}_i^0 &= \underline{b}_i \\ \underline{b}_i^r &= (1-t)\underline{b}_i^{r-1} + t\underline{b}_{i+1}^{r-1} \end{aligned}$$



Beweis für de Casteljau:

$$\begin{aligned} \underline{c}(t) &= (1-t)^3 \underline{b}_0 + 3t(1-t)^2 \underline{b}_1 + \\ & \quad 3t^2(1-t) \underline{b}_2 + t^3 \underline{b}_3 \end{aligned}$$

$$\begin{aligned} &= (1-t)^2 ((1-t)\underline{b}_0 + t\underline{b}_1) + \\ & \quad 2t(1-t)((1-t)\underline{b}_1 + t\underline{b}_2) + \\ & \quad \quad t^2((1-t)\underline{b}_2 + t\underline{b}_3) \end{aligned}$$

$$= (1-t)^2 \underline{b}_0^1 + 2t(1-t) \underline{b}_1^1 + t^2 \underline{b}_2^1$$

$$\begin{aligned} &= (1-t) ((1-t)\underline{b}_0^1 + t\underline{b}_1^1) + \\ & \quad t((1-t)\underline{b}_1^1 + t\underline{b}_2^1) \end{aligned}$$

$$= (1-t)\underline{b}_0^2 + t\underline{b}_1^2$$

$$= \underline{b}_0^3 = \underline{c}(t)$$

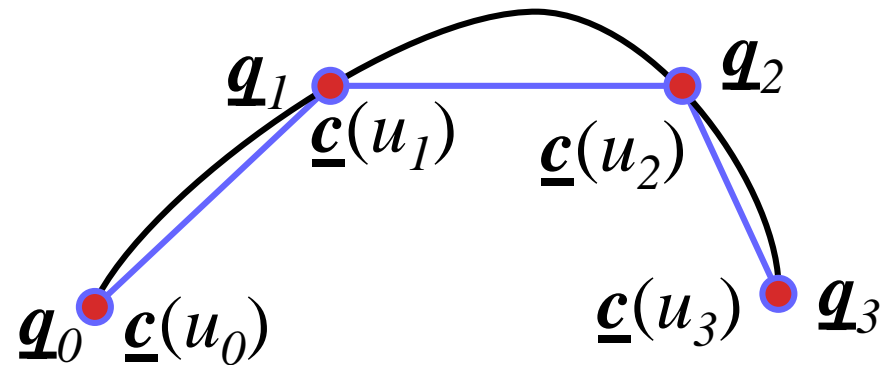


# Interpolierende Kurven

## Lagrange Interpolation



- Wenn die Kurve durch alle Kontrollpunkte gehen soll, (Interpolation) so muss man angeben für welche Parameterwerte  $t=u_i$  dies geschehen soll.
- Die  $u_i$  nennt man Stützstellen und den Vektor  $U$  der aus einer Stützstelle pro Kontrollpunkt definiert ist Stützstellenvektor
- Aus dem Stützstellenvektor definiert man die Lagrange Basis  $L_i^g(t)$  so, dass  $L_i^g(u_i)=1$  ist und  $L_i^g(u_{j \neq i})=0$ . Daraus folgt die Interpolationseigenschaft.



### Interpolationsproblem:

- geg: Kontrollpunkt  $\underline{q}_{i=0..g}$  und Stützstellen  $u_{i=0..g}$
- ges.: Kurve  $\underline{c}(t)$  mit  $\underline{c}(u_i)=\underline{q}_i$
- Lösung: Kurve in Lagrange-Basis:

$$\underline{c}(t) = \sum_{i=0}^g \underline{q}_i L_i^g(t)$$

$$L_i^g(t) = \prod_{0=k \neq i}^g \frac{t - u_k}{u_i - u_k} = \frac{(t - u_0) \cdots (t - u_{i-1}) \cdots (t - u_g)}{(u_i - u_0) \cdots (u_i - u_{i-1}) \cdots (u_i - u_g)}$$

# Interpolierende Kurven

## Aufstellen der Lagrange Basis



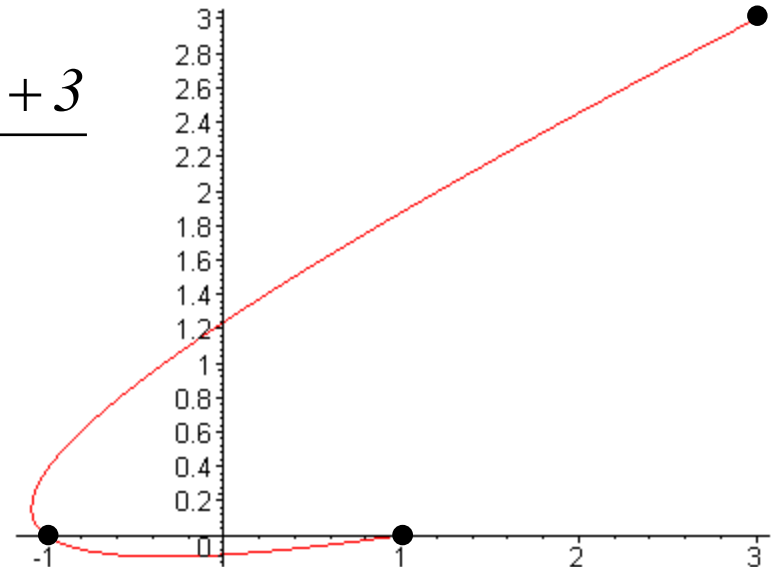
### Beispiel:

- Gegeben:  $\{u_i\}_i = \{0, 1, 3\}$   
 $\{\mathbf{q}_i\}_i = \{(1, 0), (-1, 0), (3, 3)\}$

$$L_0^2(t) = \frac{(t-1)(t-3)}{(0-1)(0-3)} = \frac{t^2 - 4t + 3}{3}$$

$$L_1^2(t) = \frac{t(t-3)}{-2}$$

$$L_2^2(t) = \frac{t(t-1)}{6}$$



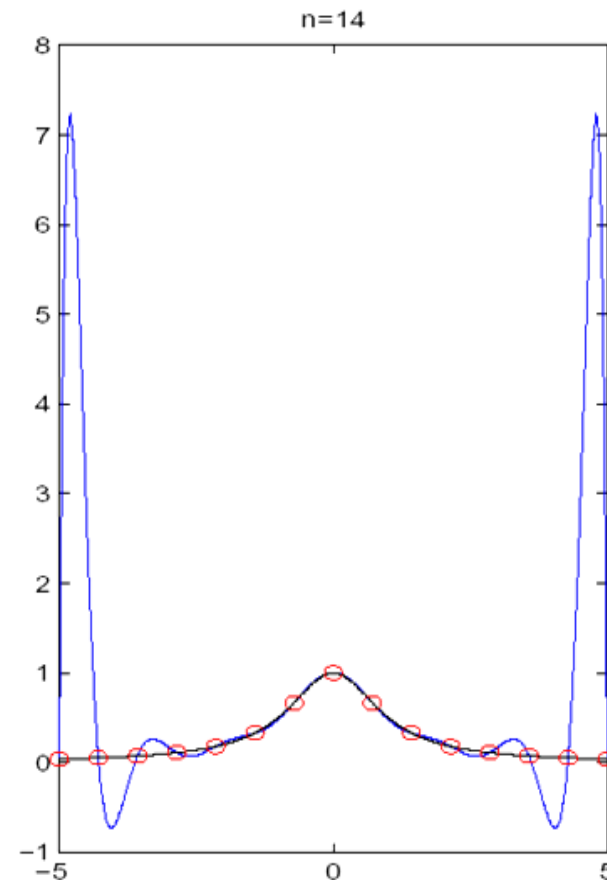
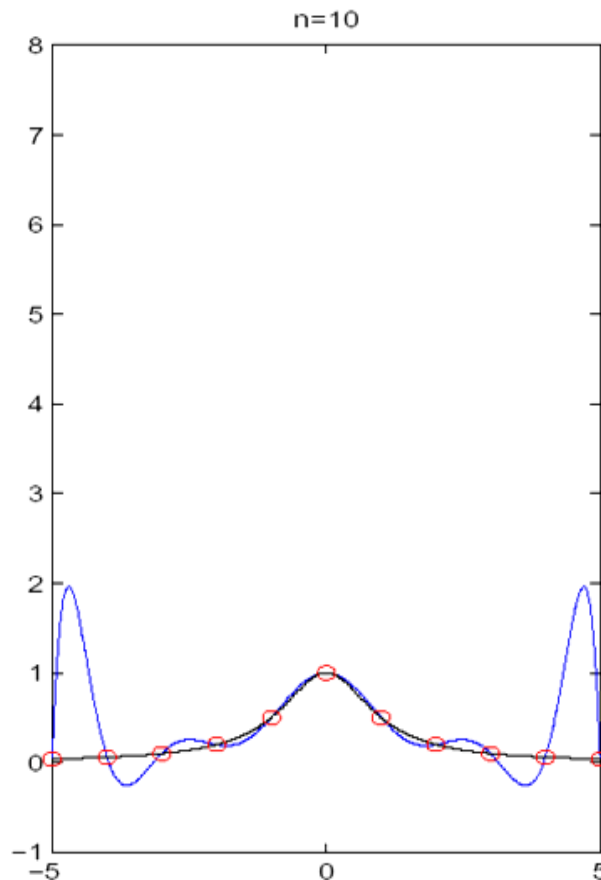
$$\mathbf{c}(t) = \begin{pmatrix} 1 \\ 0 \end{pmatrix} \frac{t^2 - 4t + 3}{3} + \begin{pmatrix} -1 \\ 0 \end{pmatrix} \frac{t(t-3)}{-2} + \begin{pmatrix} 3 \\ 3 \end{pmatrix} \frac{t(t-1)}{6}$$

$$L_i^g(t) = \prod_{0=k \neq i}^g \frac{t - u_k}{u_i - u_k}$$

# Interpolierende Kurven

## Überschwingungsproblematik

- ◆ **Vorsicht:** bei vielen Knoten kommt es bei der Lagrange-Interpolation zu Überschwingen



# Interpolierende Kurven

## Weitere Eigenschaften

- **Affine Invarianz** ... wenn sich die Basisfunktionen für jedes  $t$  zu eins summieren nennt man eine Basis affin invariant, gilt für Bernstein- und Lagrange-Basis:

$$\forall t, g, U: 1 = \sum_i^g B_i^g(t) = \sum_i^g L_i^g(t)$$

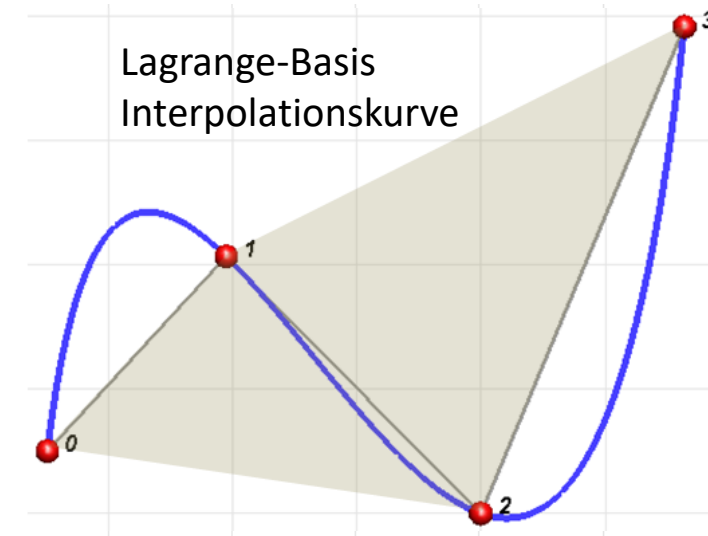
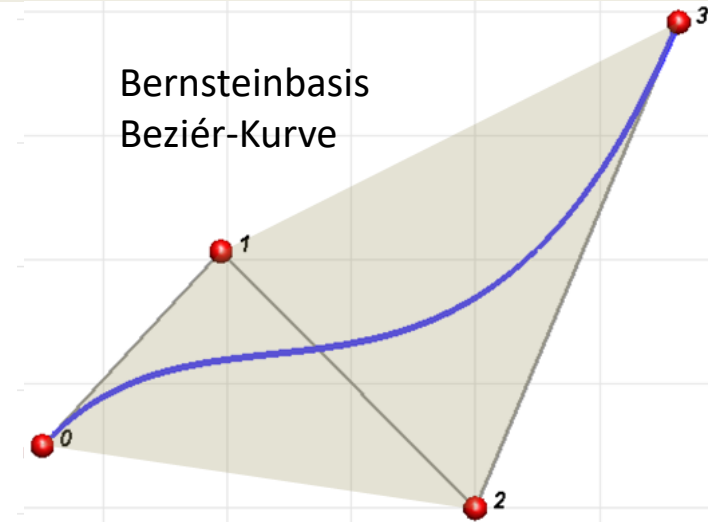
- Bei Abbildung von affin invarianten Kurven mit einer affinen Transformation  $\underline{f}(\underline{x})$  ergibt sich der transformierte Kurvenpunkt bei Auswertung der Kurve mit transformierten Kontrollpunkten:

$$\underline{f}(\underline{c}(t, \underline{b}_i)) = \underline{c}(t, \underline{f}(\underline{b}_i))$$

- **Konvexe Hülleneigenschaft** ... die Kurve liegt in der konvexen Hülle der Kontrollpunkte. Diese Eigenschaft ergibt sich bei nicht negativen Basisfunktionen aus affiner Invarianz. Gegeben bei Bernsteinbasis

$$\forall t, i, g: B_i^g(t) \geq 0$$

aber nicht bei Lagrange Basis.



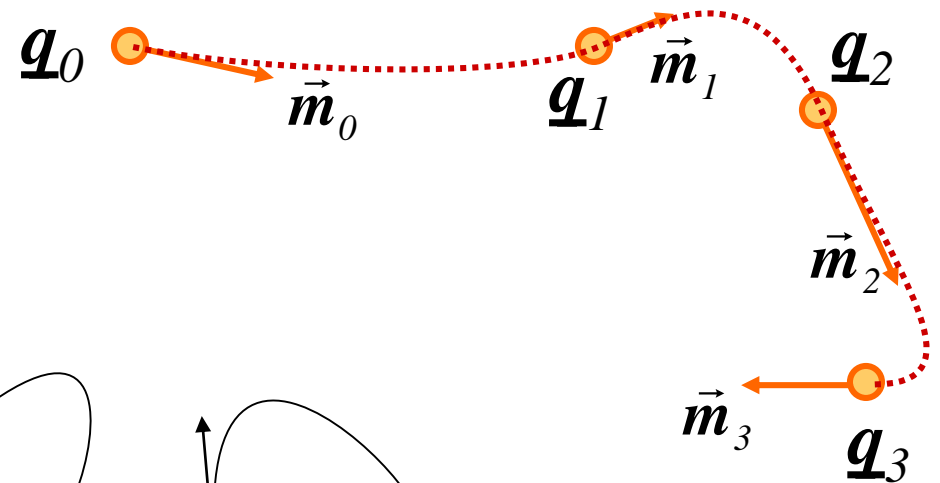
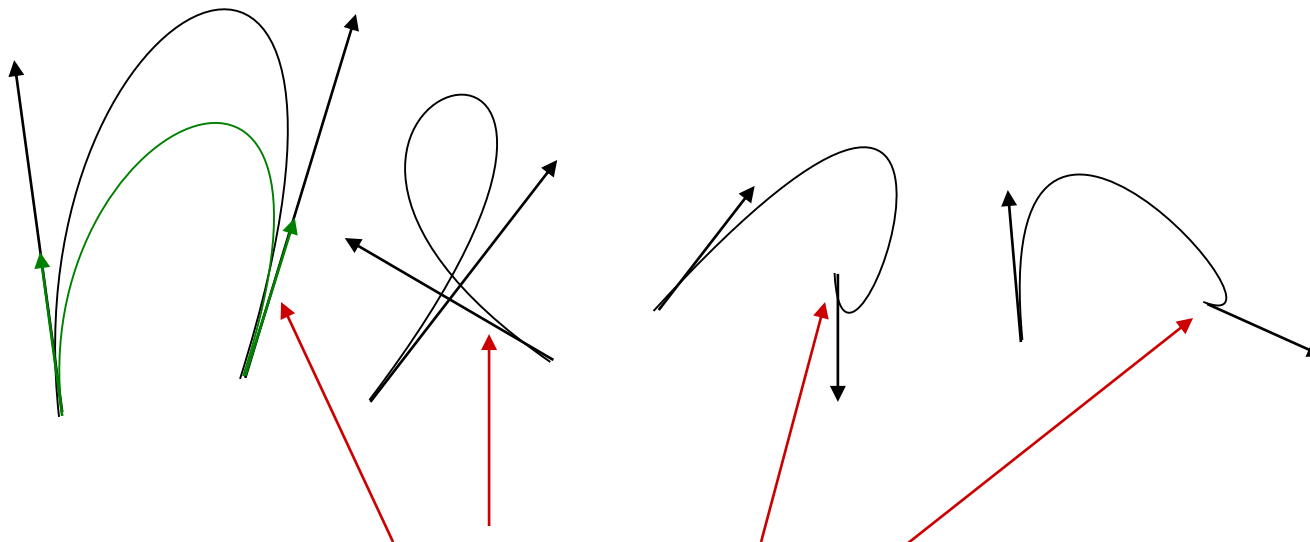
# Hermite Interpolation

## Motivation

### Idee:

- ◆ Interpolation von Positions- und Tangenteninformation

### Beispiele:



**Vorsicht:** In Darstellung zeigen die Pfeile am Ende entgegen der Vektoren  $m$ , die für die Definition der Hermite-Kurve verwendet wird!!!



### Gegeben:

- Parameter  $u_0, u_1, \dots, u_n \in \mathbf{R}$ ,
- Punkte  $\underline{q}_0, \underline{q}_1, \dots, \underline{q}_n \in \mathbf{R}^d$
- Tangenten  $\vec{m}_0, \vec{m}_1, \dots, \vec{m}_n \in \mathbf{R}^d$

### Gesucht:

- $n$  Kurvensegmente  $\underline{c}_i(t): [u_i, u_{i+1}] \rightarrow \mathbf{R}^d$
- mit  $\underline{c}_i(u_i) = \underline{q}_i$ ,  $\dot{\underline{c}}_i(u_i) = \vec{m}_i$   
 $\underline{c}_i(u_{i+1}) = \underline{q}_{i+1}$ ,  $\dot{\underline{c}}_i(u_{i+1}) = \vec{m}_{i+1}$

## Lösung der Interpolationsaufgabe

(Kontrolltangente-  
interpolation)

$$\underline{c}_i(t) = H_0^3(s_i)\underline{q}_i + \Delta_i \cdot H_1^3(s_i)\vec{m}_i + \\ + \Delta_i \cdot H_2^3(s_i)\vec{m}_{i+1} + H_3^3(s_i)\underline{q}_{i+1}, t \in [u_i, u_{i+1}]$$

wobei  $s_i = (t - u_i) / \Delta_i$  und  $\Delta_i = u_{i+1} - u_i$

in Klausur gegeben



### Beispiel

- ◆ Hermite-Polynome vom Grad 3:

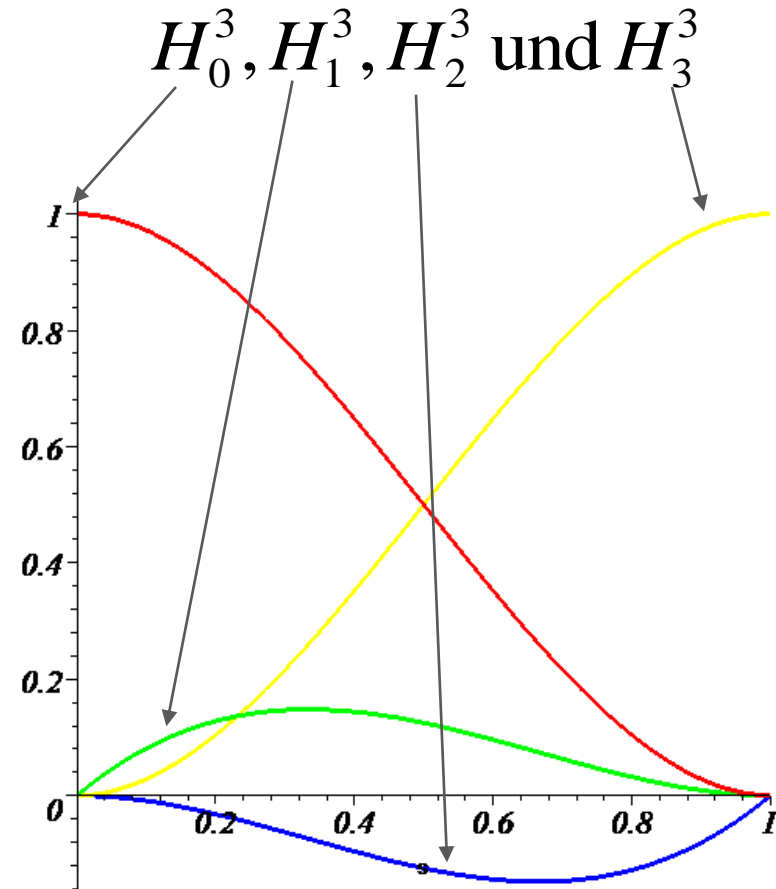
$$H_0^3(t) = (1-t)^2(1+2t)$$

$$H_1^3(t) = t(1-t)^2$$

$$H_2^3(t) = -t^2(1-t)$$

$$H_3^3(t) = (3-2t)t^2$$

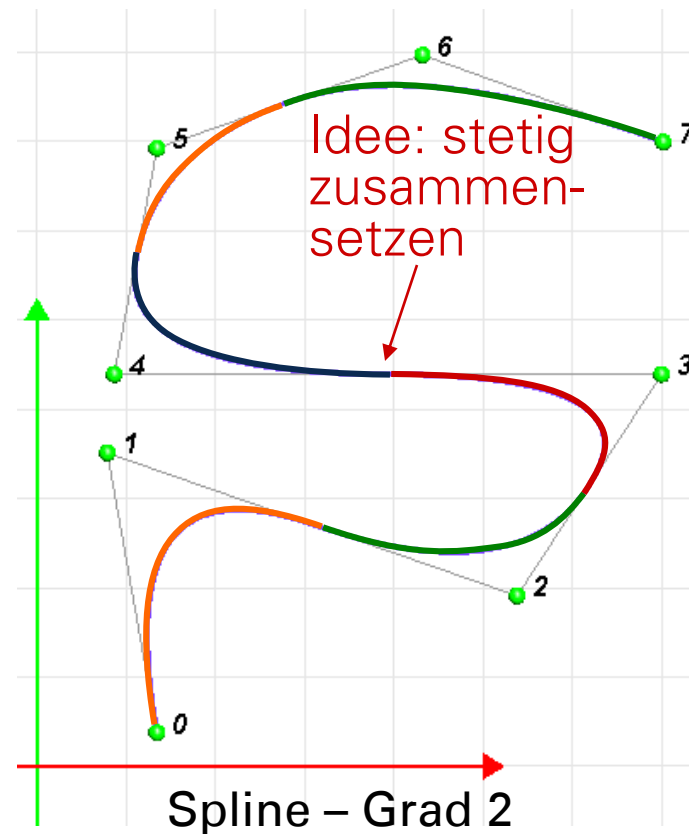
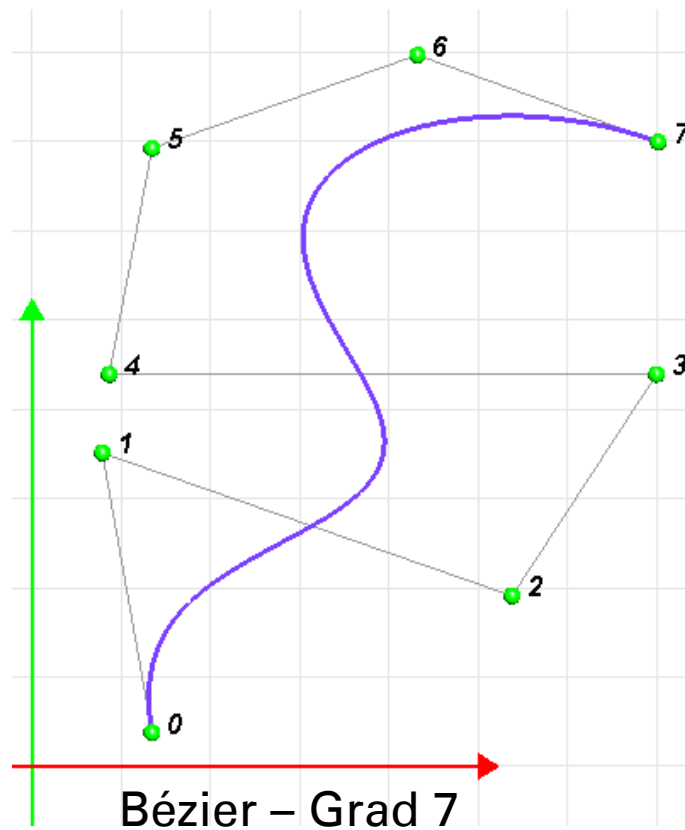
in Klausur gegeben



# Stetiges Aneinanderfügen

## Motivation

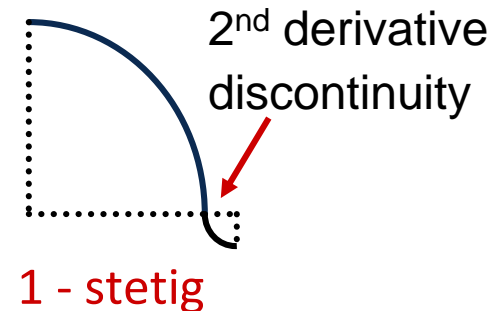
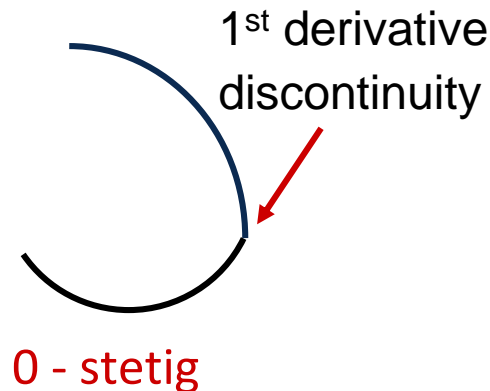
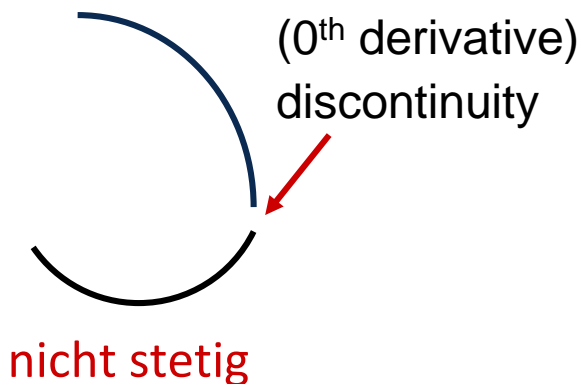
- ◆ Mit wachsendem Grad folgen Bézier-Kurven immer weniger dem Kontrollpolygon:



# Stetiges Aneinanderfügen

## Verschiedene Stetigkeiten

- Der Anschluss zwischen zwei Kurvensegmenten wird nach der Anzahl der übereinstimmenden Ableitungen klassifiziert:



- Man unterscheidet zwischen parametrischer ( $C$ ) und geometrischer ( $G$ ) Stetigkeit

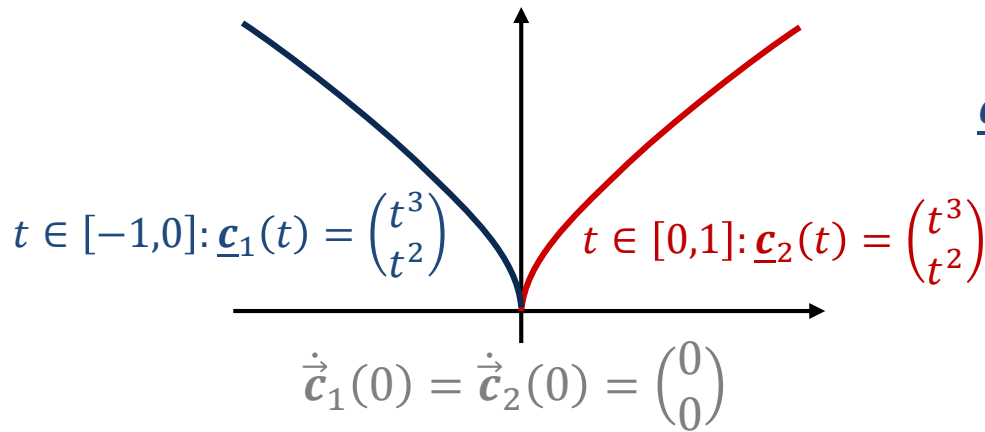
# Stetiges Aneinanderfügen

## Parametrisch versus Geometrisch



### $C^k$ -stetig

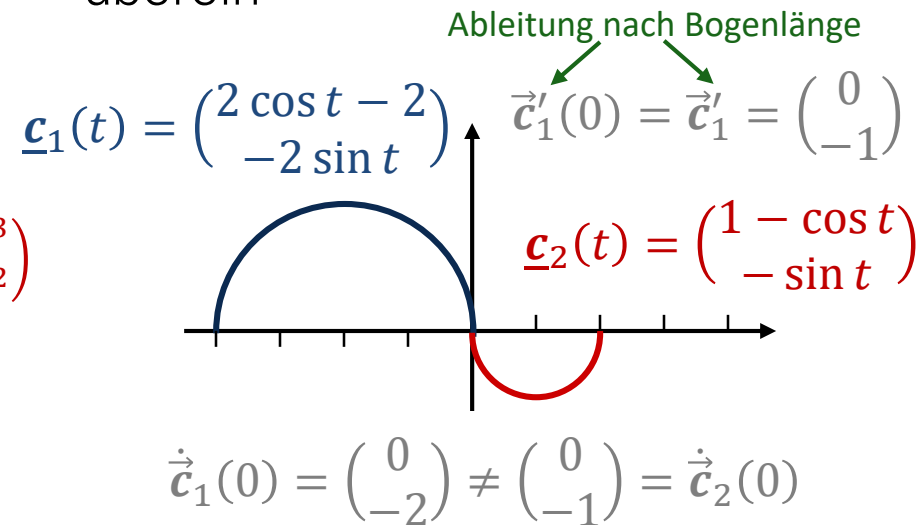
- Die ersten  $k$  Ableitungen nach dem Parameter stimmen überein



- Kurve ist  $C^\infty$ - aber nicht einmal  $G^1$ -stetig

### $G^k$ -stetig

- Die ersten  $k$  Ableitungen nach der Kurvenlänge stimmen überein



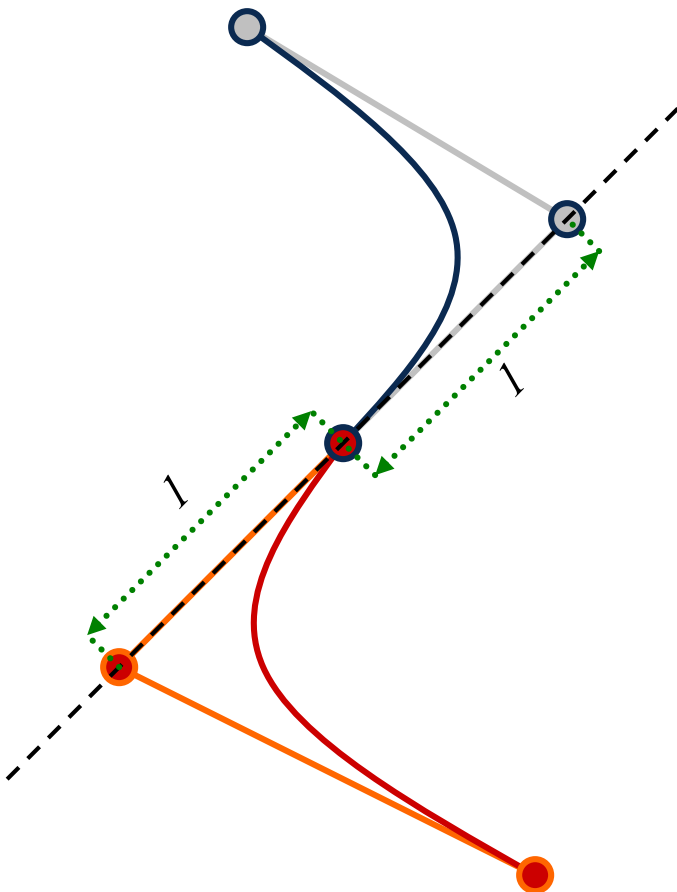
- Kurve ist  $G^1$ - aber nur  $C^0$ -stetig

# Stetiges Aneinanderfügen

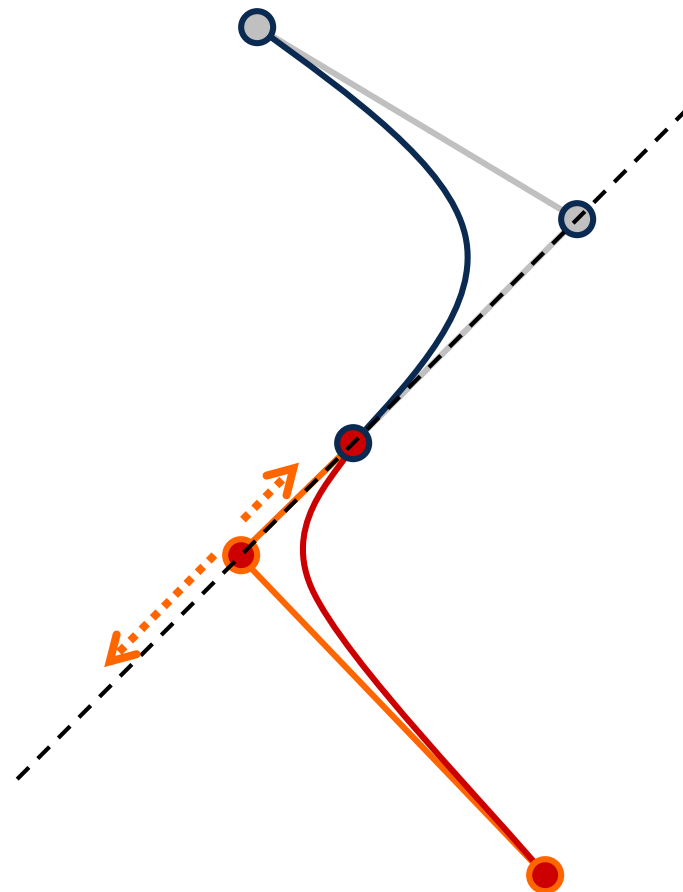
## Tangentenstetigkeit



$C^1$ -stetiger Bézier Spline

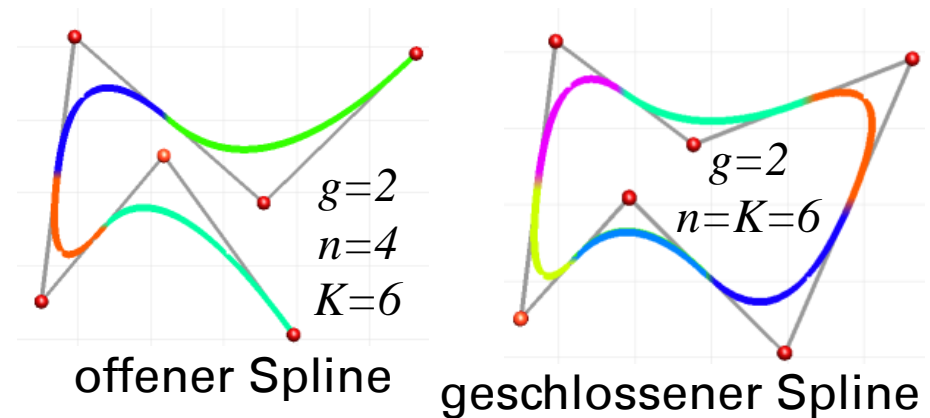


$G^1$ -stetiger Bézier Spline



- Basis-Splines vom Grad  $g$  sind aus  $n$  Kurvensegmenten zusammengesetzt, die  $k=g-1$  stetig ( $C^k$ ) aneinanderstoßen
- Um B-Splines wie andere polynomiale Kurven verwenden zu können, werden die natürlichen Basisfunktionen  $N_i^g(t)$  mit der rekursiven Konstruktionsformel nach Cox und De Boor definiert
- Die Kontrollpunkte  $\underline{d}_i$  heißen De Boor Punkte
- Man unterscheidet offene und geschlossene B-Splines

$$\underline{c}(t) = \sum_{i=0}^{K-1} \underline{d}_i N_i^g(t)$$



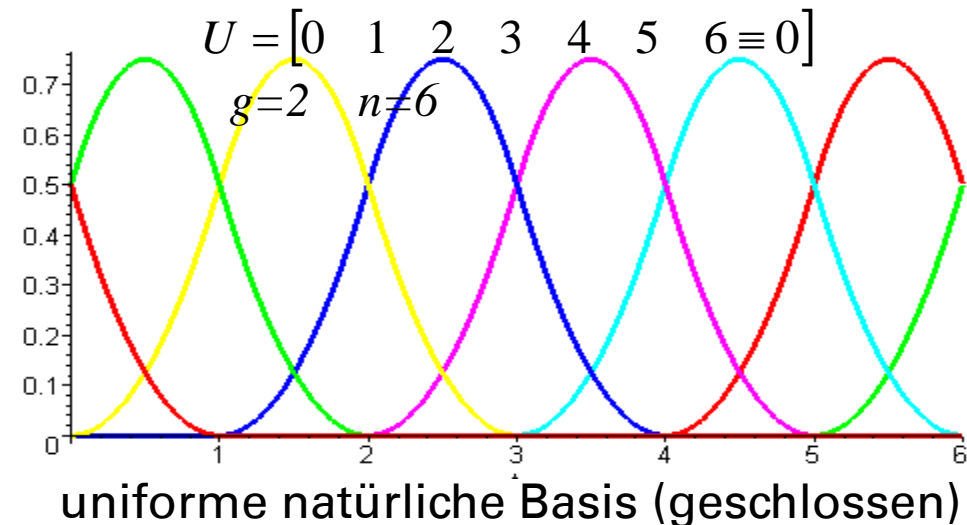
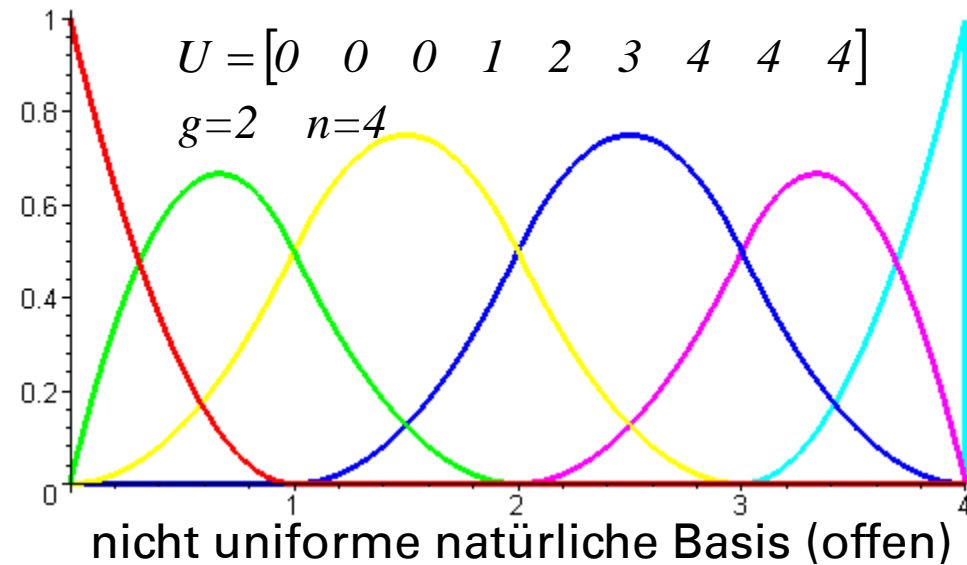
- Bei konstantem Grad  $g$  kann beliebige Zahl  $K > g$  von Kontrollpunkten genutzt werden
- es gilt
  - $K=n+g \dots$  offene B-Splines
  - $K=n \dots$  geschlossene B-Splines

# Basis-Splines

## Natürliche Basis



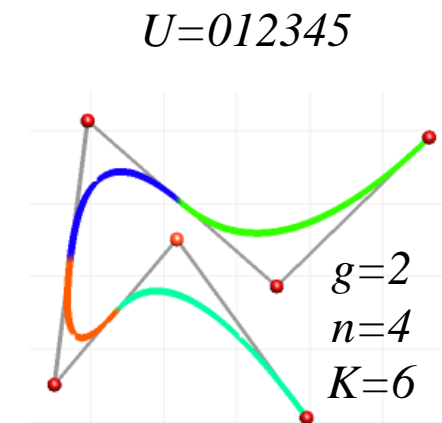
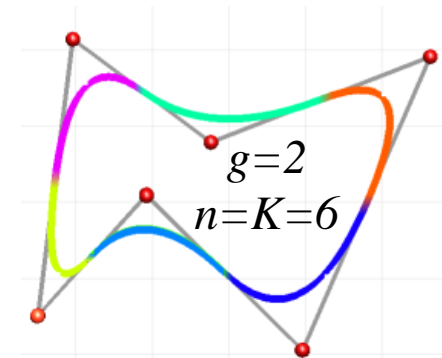
- Ähnlich zur Lagrange-Interpolation wird ein Stützstellenvektor  $U$  mit  $m$  Einträgen  $u_i$  verwendet, der den Parameterbereich in Intervalle einteilt, es gilt
  - $m=K+g+1$ ... offene B-Splines
  - $m=K$ ... geschl B-Splines
- anstelle von Stützstelle bzw. Stützstellenvektor werden oft die Begriffe Knoten und Knotenvektor verwendet
- Sind die Knoten  $u_i = a \cdot i$  äquidistant, so spricht man von einem uniformen ansonsten von einem nicht uniformen Spline



# Basis-Splines

## Symbolübersicht

- $g$  ... Grad der Kurvensegmente ( $g+1$  Freiheitsgrade pro Kurvensegment)
- $k=g-1$  ... Stetigkeit zwischen Kurvensegmenten ( $k+1=g$  Nebenbedingungen zwischen Kurvensegmenten)
- $K > g$  ... Anzahl Kontrollpunkte
- $n = K$  oder  $K-g$  ... Anzahl der Segmente
- $m = n$  oder  $K+g+1$  ... Anzahl Einträge im Knotenvektor  $U$
- $i$  ... variabel eingesetzter Laufindex



# Basis-Splines

## Cox De Boor-Rekursion



- Rekursion nach Cox De Boor am Bsp. offener Splinebasen

$$N_i^0(t) = \begin{cases} 1 & \text{falls } u_i \leq t < u_{i+1} \text{ und } u_i < u_{i+1} \\ 0 & \text{sonst} \end{cases}$$

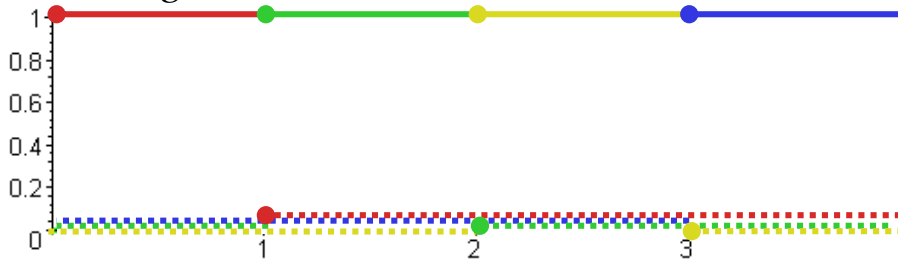
↑  
pro  $t$  nur ein  $N_i^0 \neq 0$

↑  
Einfluss nur von nicht degenerierten Intervallen

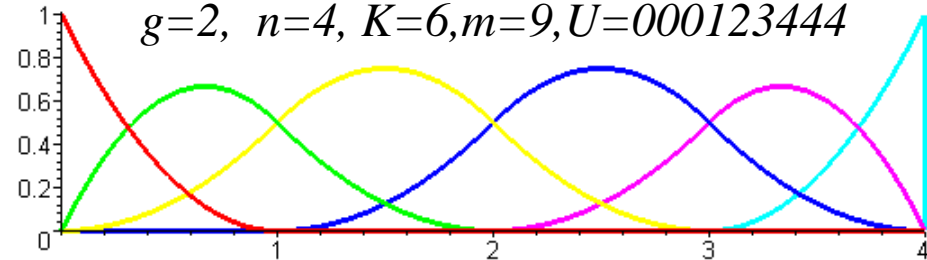
$$N_i^g(t) = \frac{t - u_i}{u_{i+g} - u_i} N_i^{g-1}(t) + \frac{u_{i+1+g} - t}{u_{i+1+g} - u_{i+1}} N_{i+1}^{g-1}(t) \quad u_i \leq t < u_{i+g+1}$$

in Klausur gegeben

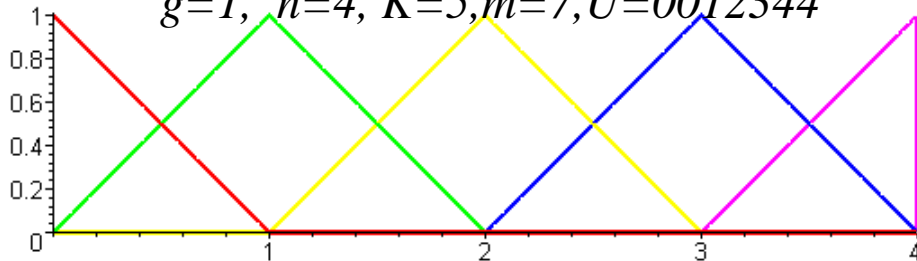
$g=0, n=4, K=4, m=5, U=01234$



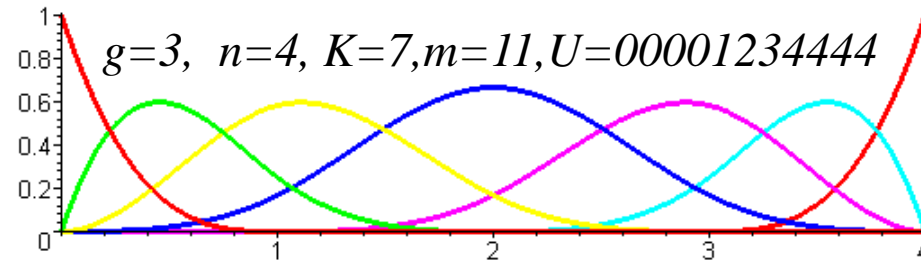
$g=2, n=4, K=6, m=9, U=000123444$



$g=1, n=4, K=5, m=7, U=0012344$



$g=3, n=4, K=7, m=11, U=00001234444$

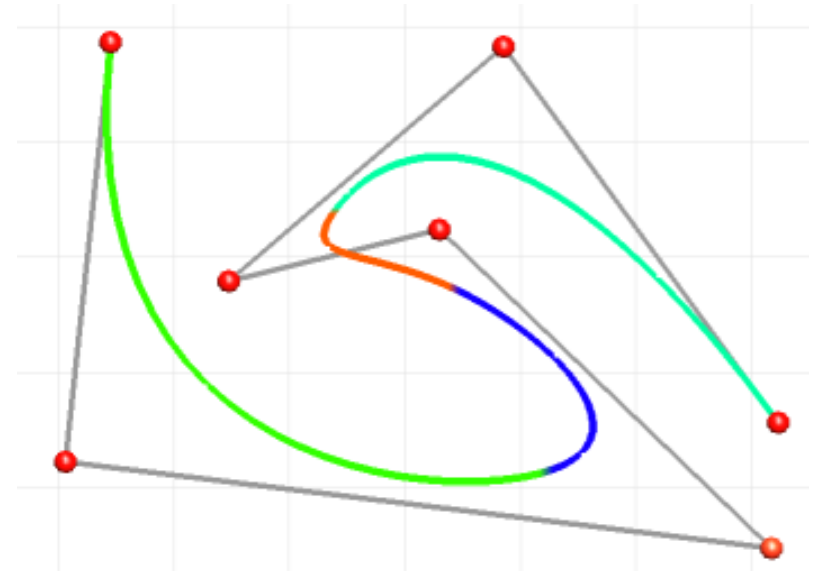


# Basis-Splines

## Multiplizität



- Wählt man  $\mu$  aufeinander folgende  $u_{i \dots i+\mu-1}$  gleich, so nennt man  $u_i$  einen Knoten der **Multiplizität**  $\mu$ .
- in  $u_i$  vermindert sich die Stetigkeit auf  $C^{k-(\mu-1)} = g - \mu$
- bei einer  $\mu=g$  Multiplizität von  $u_i$  wird  $\underline{d}_i$  interpoliert.
- Bei  $\mu=g+1$  bekommt der B-Spline einen Sprung
- Dies wird vor allem an den Endpunkten von offenen B-Splines genutzt



Bsp.:  $n=4$ ,  $g=3$ ,  $K=7$ ,  $m=11$ ,  
 $U=[0,0,0,0,1,2,3,4,4,4,4]$

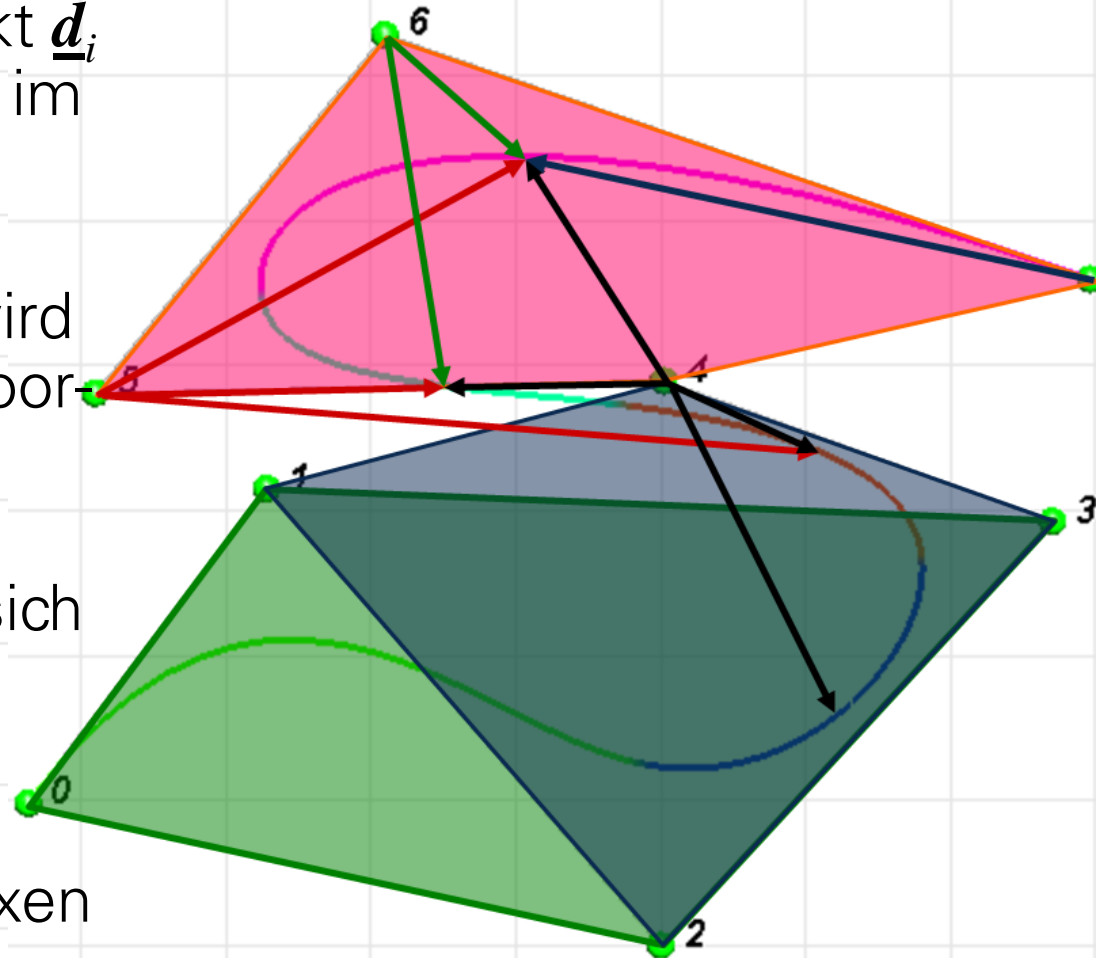
Online Demo mit Kontrolle des Knotenvektors: <https://nurbscalculator.in>

# Basis-Splines

## Eigenschaften



- Die Basisfunktion  $N_i^g$  bzw. der De Boor Punkt  $\underline{d}_i$  beeinflusst den Spline im Parameterbereich  $[u_i, u_{i+g+1})$
- Das Intervall  $[u_i, u_{i+1})$  wird nur von den  $g+1$  De Boor-Punkten  $\underline{d}_{i-g}, \dots, \underline{d}_i$  beeinflusst
- Die  $N_i^g(t)$  summieren sich zu 1 und sind größer gleich null
- Der Spline liegt in der Vereinigung der konvexen Hüllen von  $\underline{d}_i, \underline{d}_{i+1}, \dots, \underline{d}_{i+g}$



$$g=3, n=5, m=12, K=8, U=000012345555$$





# Übersicht über Basen und Kurven

## ◆ Bernstein-Basis

- ◆ affin invariant
- ◆ positiv

$$\sum_{i=0}^g \underline{\mathbf{b}}_i B_i^g(t)$$

## ◆ Beziér-Kurve (Beziér-Punkte)

- ◆ approximierend
- ◆ Konvexhülleneigenschaft
- ◆ Endtangenteinterpolation

## ◆ Lagrange-Basis

- ◆ affin invariant
- ◆ unabhängig

$$\sum_{i=0}^g \underline{\mathbf{q}}_i L_i^g(t)$$

## ◆ Lagrange-Kurve

- ◆ Kontrollpunktinterpolation

## ◆ Hermite-Basis

- ◆ lokale Definition

## ◆ Hermite-Spline

- ◆ Kontrolltangenteinterpolation
- ◆ lokaler Kontrolltangenteinfluss
- ◆  $C^1$ -stetig

## ◆ natürliche Basis

- ◆ affin invariant
- ◆ positiv
- ◆ lokale Definition

$$\sum_{i=0}^{K-1} \underline{\mathbf{d}}_i N_i^g(t)$$

## ◆ Basis-Splines (De Boor Punkte)

- ◆ Endtangenteinterpolation
- ◆ lokaler Kontrollpunkteinfluss
- ◆ Konvexhülleneigenschaft
- ◆  $C^{g-1}$ -stetig